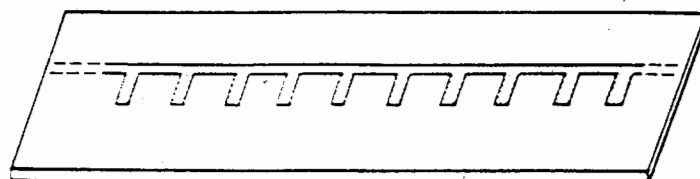


Κ Ε Φ Α Λ Α Ι Ο 8

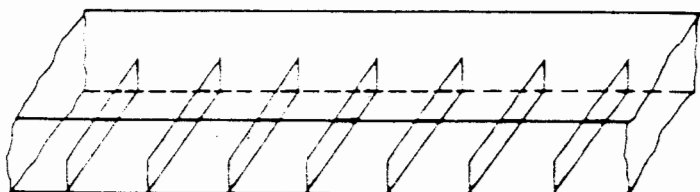
Σχεδιασμός Μικροκυματικών Φίλτρων

	Σελίδα
1. Μικροκυματικά Φίλτρα – Περιοδικές Δομές (Εισαγωγή)	8-1
2. Ανάλυση Περιοδικών Δομών	8-2
• Καθορισμός ζώνης διέλευσης	8-3
• Ζώνη διέλευσης-αποκοπής περιοδικής δομής	8-4
3. Τερματιζόμενες περιοδικές διατάξεις	8-5
4. Σχεδιασμός φίλτρων με τη μέθοδο “Απώλειας Εισαγωγής”	8-8
• Φίλτρα μέγιστης επιπεδότητας – Διωνυμικά ή Butterworth	8-9
• Φίλτρα ίσης κυμάτωσης ή Chebyshev	8-9
• Φίλτρο ελλειπτικής συνάρτησης	8-11
• Φίλτρο γραμμικής φάσης	8-12
• Χαρακτηριστικά φίλτρων Butterworth και Chebyshev	8-13
5. Πρωτότυπα κυκλώματα χαμηλοπερατών φίλτρων	8-15
• Προσδιορισμός παραμέτρων g_i και της τάξης χαμηλοπερατού φίλτρου Butterworth	8-17
• Προσδιορισμός παραμέτρων g_i και της τάξης χαμηλοπερατού φίλτρου Chebyshev	8-18
6. Μετασχηματισμοί Φίλτρων	8-22
• Πρωτότυπο χαμηλοπερατό → Χαμηλοπερατό	8-22
• Πρωτότυπο χαμηλοπερατό → Υψηπερατό	8-22
• Πρωτότυπο χαμηλοπερατό → Ζωνοπερατό	8-23
• Πρωτότυπο χαμηλοπερατό → Αποκοπής-Ζώνης	8-24

ΜΙΚΡΟΚΥΜΑΤΙΚΑ ΦΙΛΤΡΑ - ΠΕΡΙΟΔΙΚΕΣ ΔΟΜΕΣ



(a)



(b)

FIGURE 9.1 Examples of periodic structures. (a) Periodic stubs on a microstrip line. (b) Periodic diaphragms in a waveguide.

Pozar, Ed. 4.22

- > Περιοδικές Δομές : Αποτελούνται από γραμμές μεταφοράς ή κυκλοδιδύος περιοδικά "φορτωμένα" με αντιδρώσεις (Επαγγελματικό - χωρητικό) στοιχεία : Stub, διαγράμματα με ιρίδες, στυλικός, αβυνέχεις
- Υποστηρίζουν διάδοση Αρρού Κύματος ($V_p < C/\sqrt{\mu\epsilon_r}$)
- Έχουν χαρακτηριστικά ζωνοδιαβατών ή ζωνοαπερατών φίλτρα.
- Εφαρμογές σε κεραίες, μεσαστιστές φάσης, masers, λύκνες TWT.

Ισοδύναμο Κύκλωμα Περιοδικού φορτωμένου γραμμής μεταφοράς

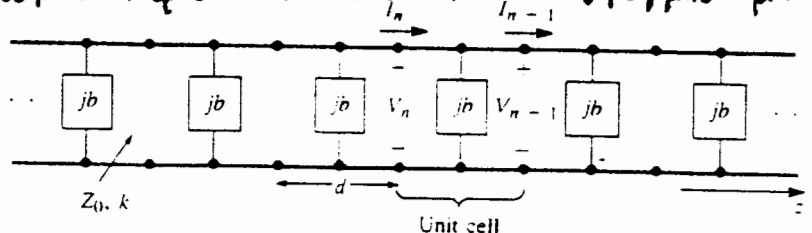


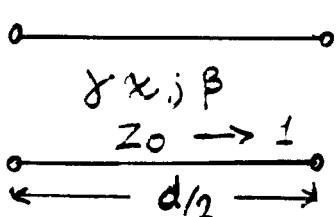
FIGURE 9.2 Equivalent circuit of a periodically loaded transmission line. The unloaded line has characteristic impedance Z_0 and propagation constant k .

- Καθε μοναδιαία κυψελίδα (unit cell) αποτελείται από ένα τμήμα γραμμής μεταφοράς και ένα συγκεντρωμένο αντιδρών στοιχείο (jb) που αντιπροσωπεύει την αγωγή.
- Κανονικοποίηση : Τα συγκεντρωμένα στοιχεία κανονικοποιούνται ως προς τη Z_0 της γραμμής : $b = \frac{B}{Y_0} = B \cdot Z_0$

ΑΝΑΛΥΣΗ ΠΕΡΙΟΔΙΚΩΝ ΔΟΜΩΝ

> Τύποια γραμμής μεταφοράς

(Pozar, §§. 424)



Pozar, §§. 208

$$A = D = \cos(\beta l)$$

$$C = j Y_0 \sin(\beta l), B = j Z_0 \sin(\beta l)$$

• Παραγέτης της απώλειας αλλάζει $\alpha \sim 0 \rightarrow \gamma = \alpha + j\beta \approx j\beta$

• Παραμέτροι διάδοσης - Καρονικοποιητής

$$\begin{bmatrix} A & B \\ C & D \end{bmatrix} = \begin{bmatrix} \cos(\theta/2) & j \sin(\theta/2) \\ j \sin(\theta/2) & \cos(\theta/2) \end{bmatrix}$$

$\left. \begin{array}{l} \text{Καρονικοποιητής } Z_0 \rightarrow 1 \text{ και } Y_0 \rightarrow 1 \\ \text{Ηλεκτρικό μήκος } \theta = \beta l = \beta d \end{array} \right\}$

> Παραδηματική Αντίδραση

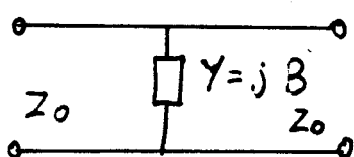
{ Παραμέτροι διάδοσης

Pozar, §§. 208: $A = 1, B = 0, C = Y, D = 1$

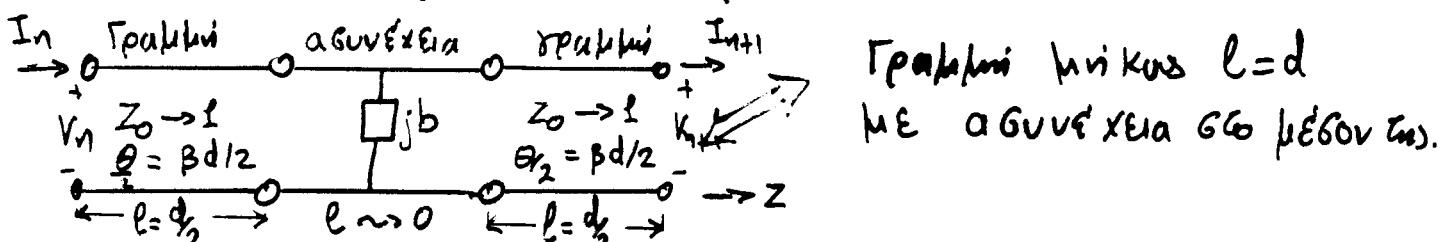
Καρονικοποιητής: $Y \rightarrow \frac{Y}{Y_0} = Y \cdot Z_0 \text{ και } b = j B \cdot Z_0$

Καρονικοποιητής: $\begin{bmatrix} A & B \\ C & D \end{bmatrix} = \begin{bmatrix} 1 & 0 \\ jb & 1 \end{bmatrix}$

Παραμέτροι διάδοσης: $\begin{bmatrix} A & B \\ C & D \end{bmatrix} = \begin{bmatrix} 1 & 0 \\ jb & 1 \end{bmatrix}$



> Μοναδιαία κυρτίδα των περιοδικών δομών:



$$\begin{bmatrix} A & C \\ B & D \end{bmatrix} = \begin{bmatrix} \cos(\theta/2) & j \sin(\theta/2) \\ j \sin(\theta/2) & \cos(\theta/2) \end{bmatrix} \cdot \begin{bmatrix} 1 & 0 \\ jb & 1 \end{bmatrix} \cdot \begin{bmatrix} \cos(\theta/2) & j \sin(\theta/2) \\ j \sin(\theta/2) & \cos(\theta/2) \end{bmatrix} =$$

$$= \begin{bmatrix} (\cos\theta - b_2 \sin\theta) & j(\sin\theta + \frac{b}{2} \cos\theta - \frac{b}{2}) \\ j(\sin\theta + \frac{b}{2} \cos\theta + \frac{b}{2}) & (\cos\theta - \frac{b}{2} \sin\theta) \end{bmatrix}$$

Η κυρτίδα διατηρεί την ιδιότητα $AD - BC = 1$ των αντισφερτών δικτύων.

> Ζώνη διέλευσης \rightarrow Διάδοση χωρίς ανακλάσεις

• Διαδιδόντες στη διέλευση $-Z$: $V(z) = V(0) e^{-j\beta z}, I(z) = I(0) e^{-j\beta z}$

• Αποτίθενται ανακλάσεις: $V_{n+1} = V_n e^{-j\beta d} \approx V_n e^{-j\beta Z}$

$$I_{n+1} = I_n e^{-j\beta d} \approx I_n e^{-j\beta Z}$$

> Καθορισμός της Ζώνης Διέργευσης

- Σει γιατί διέργευσης θα έχουμε μόνο Σινδιδόκερο κύρια (Ακετρό ανακτήσιμο), ενώ εξω από αυτή θα νέρουμε σε δικτετούς ανακτήσιμους.

⇒ Αυτή η Γωνία Καθορίζει και τη σει γιατί διέργευσης (και Απόκταμη)

> Διάδοση από συν είσοδο → Έfodo της κυριαρχίας:

$$\begin{aligned} V_{n+1} &= V_n e^{-\gamma d} & \Rightarrow V_n = V_{n+1} e^{\gamma d} & \quad r = \alpha_a + j \beta_a = \text{Συνίστη} \\ I_{n+1} &= I_n e^{-\gamma d} & \Rightarrow I_n = I_{n+1} e^{\gamma d} & \quad \text{διάδοση περιοδικής} \\ & & & \quad \text{δύναμης} \end{aligned}$$

- Αλλα', από τις κλασικές ποικιλίες παρατητών ABCD:

$$\begin{bmatrix} V_n \\ I_n \end{bmatrix} = \begin{bmatrix} A & B \\ C & D \end{bmatrix} \begin{bmatrix} V_{n+1} \\ I_{n+1} \end{bmatrix} = \begin{bmatrix} V_{n+1} e^{\gamma d} \\ I_{n+1} e^{\gamma d} \end{bmatrix} \Leftrightarrow \begin{bmatrix} A - e^{\gamma d} & B \\ C & D - e^{\gamma d} \end{bmatrix} \begin{bmatrix} V_{n+1} \\ I_{n+1} \end{bmatrix} = 0$$

- Μην-μηδενική για την προκίνηση οσαν μηδενίζεται η αρίθμηση.

$$\Rightarrow AD + e^{2\gamma d} - (A+D)e^{\gamma d} - BC = 0$$

- Επειδή οκαν η κυριαρχία είναι ανασφετό δίδυμο:

$$\begin{aligned} &\xrightarrow{x e^{-\gamma d}} AD - BC = 1 \Rightarrow 1 + e^{2\gamma d} - (A+D)e^{\gamma d} = 0 \xrightarrow{\text{ΠΩ/6ηος } e^{-\gamma d}} \\ &\xrightarrow{} e^{-\gamma d} + e^{\gamma d} = A+D \Rightarrow \boxed{\cosh(\gamma d) = \frac{A+D}{2}} \end{aligned}$$

$$\Rightarrow \boxed{\cosh(\gamma d) = \cos \theta - \frac{b}{2} \sin \theta} \quad \text{όπου } \theta = \beta d = 2\pi \cdot \frac{d}{\lambda}$$

$$\gamma = \alpha_a + j \beta_a = \text{Γωνία } \delta \text{ στη διάδοση της περιοδικής δύναμης}$$

Και είναι διαδικτική από αυτή την κατεγορία.

ΖΩΝΗ ΔΙΕΝΕΥΣΗΣ: $\alpha_a = 0$, $\gamma = j \beta_a$

$$\cosh(\gamma d) \Big|_{\alpha_a=0} = \cos(\beta_a d) \xrightarrow{\text{Γωνία }} \text{Γωνία } \boxed{\cos(\beta_a d) = \cos \theta - \frac{b}{2} \sin \theta}$$

ΖΩΝΗ ΑΠΟΚΟΙΝΗΣ: $\alpha_a \neq 0$, $\beta_a d = 0, \pi \rightarrow \gamma \approx \alpha_a$

Γωνία: $\cosh(\alpha_a d) = \left| \cos \theta - \frac{b}{2} \sin \theta \right| \geq 1$ { Είτε για $\theta = 0$ ή $\theta = \pi$.

Επειδή, - Τεμαχίας σημείως με ακετρές απώλειες, η ίδια η σε δικτετούς δεν καταργείται σει σημείο, αλλα ανακτήσιμη προς την είσοδο.

Ζώνη Διέλευσης - Αποκοπής περιοδικού δομής.

$$\cos\theta - \frac{1}{2}j\sin\theta = \cosh(\gamma d) = \cosh(\alpha_n d)\cos(\beta_n d) + j\sinh(\alpha_n d)\sin(\beta_n d)$$

$$\gamma = \alpha_n + j\beta_n$$

Ζώνη διέλευσης: $\alpha_n = 0 \rightarrow$ Διάδοση χωρίς ανακλούσεις

Ζώνη Αποκοπής: $\beta_n = 0 \quad \beta_n d = \pi : \text{Ιεχυρό ανακτήσιμο } \alpha_n \neq 0$
 ↳ Περιήλιο: $\beta_n d = \pi \Leftrightarrow \frac{2\pi}{\lambda_n} d = \pi \Leftrightarrow d = \frac{\lambda_n}{2}$
 $d = \lambda_n/2 : \alpha_n \delta στην αριθμεύσειν = \lambda_n/12.$

$\beta_n = 0 \rightarrow$ λεζάνδρη - επανιστροφή της φάσης + Z ↳ Παραγωγή του iδίας
 $\beta_n d = \pi \rightarrow -!! - - - - !! \quad \text{φάση} - Z \quad \text{συνέπεια αντίστροφης Ελοδίας.}$

Bloch - κύκλωση: $\alpha e^{\gamma z} = e^{-\alpha_n z} \cdot e^{-j\beta_n z}$

↳ Τα διαδιδόμενα γενν. περιοδικού δομής.

- Παραγωγής ομοιότητας με τη "Ελαστική" κύκλωση των ληφθαλλικών δομών
- Τα αντίστροφα περικλαστικά και τάσσεις (V_n, I_n) ορίζονται μόνο στας κομβούς της δομής και όχι στο εξωτερικό της κυρτείδαν.
 ↳ Συλλεγούνται με τις μετανομές μόνο στας κομβούς.

> Χαρακτηριστική Αριθμητικής Bloch (Z_B).

$$Z_B = Z_0 \frac{V_{n+1}}{I_{n+1}} = \pm \frac{B Z_0}{\sqrt{A^2 - 1}}$$

To (-) οφείλεται στην αριθμητικότητα των I_n σαν δεικτούς.

Περιγραφής της εξίσωσης Z_B : V_{n+1}, I_{n+1} είναι καρονικούς ποσότητες.

Ⓐ - Εφικτός:

$$\begin{cases} (A - e^{\gamma d}) \cdot V_{n+1} + B \cdot I_{n+1} = 0 \\ C \cdot V_{n+1} + (D - e^{\gamma d}) \cdot I_{n+1} = 0 \end{cases} \quad \left\{ \begin{array}{l} Z_B = Z_0 \cdot \left(\frac{-B}{A - e^{\gamma d}} \right) \\ \end{array} \right.$$

$$\begin{aligned} &\rightarrow 1 + e^{2\gamma d} - (A + D) \cdot e^{\gamma d} = 0 \quad \left\{ \begin{array}{l} x^2 - (A + D) \cdot x + 1 = 0 \\ x = e^{\gamma d} = \frac{1}{2} \left\{ (A + D) \pm \sqrt{(A + D)^2 - 4} \right\} \end{array} \right. \\ &\quad x = e^{\gamma d} \end{aligned}$$

• Συλλεγούτες κυρτείδες $\leftrightarrow A = D \rightarrow e^{\gamma d} = A \pm \sqrt{A^2 - 1}$

$$\rightarrow A - e^{\gamma d} = A - A \mp \sqrt{A^2 - 1} = \mp \sqrt{A^2 - 1}$$

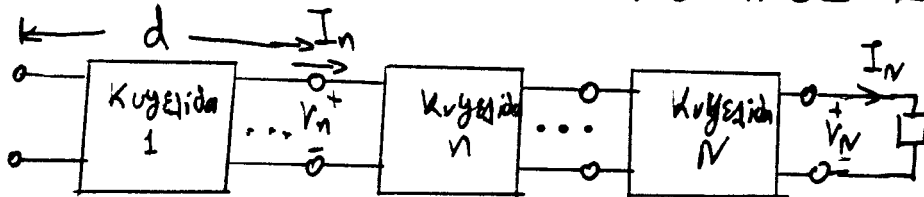
$$\Rightarrow \left\{ Z_B^\pm = \pm B \cdot Z_0 / \sqrt{A^2 - 1} \right\} \quad \begin{cases} (+) \rightarrow \text{Διάδοση τύπος} + Z \\ (-) \rightarrow -!! \quad \text{τύπος} - Z \end{cases}$$

Zωνες - Αποκοτή και διεξεγός ευθύγρακες κυρτήσεις.

- Ευθύγρακης κυρτήσης: $A = D = \cos \theta - \frac{b}{2} \sin \theta$ και $B = j(\sin \theta + \frac{b}{2} \cos \theta - \frac{b}{2})$
- Ζώνη διεξεγός: $\alpha_0 = 0, \beta_0 \neq 0$
 ↳ Ορια σύμπασης: $\cos(\beta_0 d) = A \leq 1$
 Αντίτοπη Bloch: $Z_B^{\pm} = \frac{\pm B Z_0}{\sqrt{A^2 - 1}} = \text{Real} \leftrightarrow \frac{\pm Z_0 j(-)}{j \sqrt{1 - A^2}}$
- Ζώνη αποκοτής: $\alpha_0 \neq 0, \beta_0 = 0$
 ↳ Ορια σύμπασης: $\cosh(\alpha_0 d) = A \geq 1$
 Αντίτοπη Bloch: $Z_B^{\pm} = \frac{\pm B Z_0}{\sqrt{A^2 - 1}} = \text{Imaginary}$

→ Οι σιδήρες της Z_B είναι παρόμοιες μ' αυτές της χαρακτηριστικής αντίτοπης στους βυθισμούς, για την σύνη αποκοτής και διάδοση.

ΤΕΡΜΑΤΙΖΟΜΕΝΕΣ ΠΕΡΙΟΔΙΚΕΣ ΔΙΑΤΑΞΕΙΣ



- Οι αν n περιόδους δοκιμής τερματίζονται σε μια προσαρμοσμένη λεπτία $Z_L \neq Z_B$, τούτη δημιουργείται και ανακγίνεται κύρια.
- Η τάση και το περιελατικό σταθμό περικανά κοινώς σημεία $Z = d, 2d, \dots, Nd$
- $$V_n = V_0^+ e^{-j\beta_0 \cdot (nd)} + V_0^- e^{+j\beta_0 \cdot (nd)} = V_n^+ + V_n^-$$

$$I_n = I_0^+ e^{-j\beta_0 \cdot (nd)} + I_0^- e^{+j\beta_0 \cdot (nd)} = \frac{V_0^+}{Z_B^+} e^{-j\beta_0 \cdot nd} + \frac{V_0^-}{Z_B^-} e^{+j\beta_0 \cdot nd}$$
- $$\begin{cases} V_n^+ = V_0^+ e^{-j\beta_0 \cdot nd} \\ V_n^- = V_0^- e^{+j\beta_0 \cdot nd} \end{cases} \quad \left. \begin{array}{l} V_n = V_n^+ + V_n^- \\ I_n = \frac{V_n^+}{Z_B^+} + \frac{V_n^-}{Z_B^-} \end{array} \right\} \text{Φορέσιο:}$$

$$V_N = V_N^+ + V_N^- = Z_L I_N = Z_L \left\{ \frac{V_N^+}{Z_B^+} + \frac{V_N^-}{Z_B^-} \right\}$$
- $$\begin{array}{l} \text{Ενεργετικής ανικλινής φορέσιο: } \Gamma_L = \frac{V_N^-}{V_N^+} = - \frac{Z_L / Z_B^+ - 1}{Z_L / Z_B^- - 1} = \frac{Z_L - Z_B^+}{Z_L + Z_B^-} \\ \Leftrightarrow \text{ΠΡΟΣΑΡΜΟΓΗ} \Leftrightarrow Z_L = Z_B \end{array}$$
- Ευθύγρακη δικτυωτή $A = D \Rightarrow Z_B^+ = -Z_B^- = \frac{B Z_0}{\sqrt{A^2 - 1}} = Z_B$

Ιωρές Αποκοσίας και Διέλεγχος

$$\beta = \sqrt{k^2 - K_c^2} \leftrightarrow k = \sqrt{\beta^2 + K_c^2}$$

Ταχύτητα Φασής

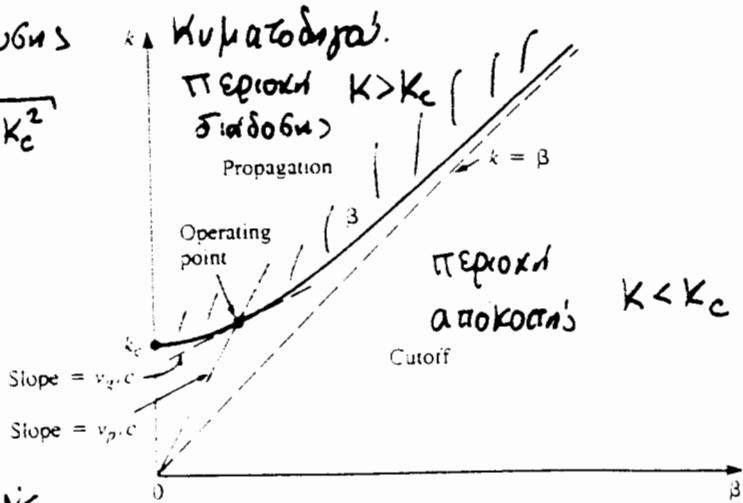
$$V_p = \frac{\omega}{\beta} = G \frac{K_0}{\beta}$$

Ταχύτητα Ουδας

$$V_g = \frac{d\omega}{d\beta} = C \frac{dK_0}{d\beta}$$

$$K = \omega \sqrt{\mu \epsilon} = \frac{\omega}{c} \sqrt{\mu_r \epsilon_r}, \quad K_0 = \frac{\omega}{c}$$

FIGURE 9.4 k - β diagram for a waveguide mode.



Γραφική Μετασημάτωση Περιοδικής προβολής με χωνευτικό διάγραμμα. (a.e. αντικρ. K. Stub)

$$B = j\omega C_0 \rightarrow \frac{b}{2} = \frac{B \cdot Z_0}{2} = \frac{\omega C_0 \cdot Z_0}{2} = \frac{C_0 \cdot Z_0}{2} \cdot C K_0 \quad K_0 = \frac{\omega}{c} \rightarrow \omega = G \cdot K_0$$

• Ρυθμός TEM

$$\cdot Διμελεύτειος αριθμός \rightarrow \epsilon_y = 1 \rightarrow \Theta = \beta d = K_0 d$$

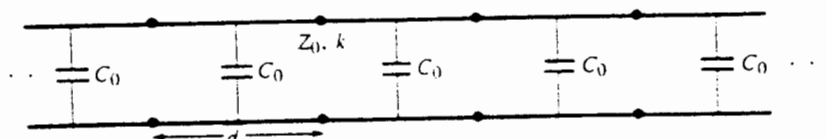


FIGURE 9.5 A capacitively loaded line.

Περιοχή Διαίρεσης

η χαρακτηριστική σταθερός

$$\text{Έσω } \rho = 3.6 \text{ H} \rightarrow \frac{C_0 \cdot Z_0 \cdot C}{2d} = 2.0 \rightarrow \text{ήμερη συγχρόνια πλαγιά}$$

$$d = 1 \text{ cm}, Z_0 = 50 \Omega$$

2^η βάθυς διέλεγχος

$$\pi \leq K_0 d \leq \dots$$

$$\cos(\beta_0 d) = \cos \theta - \frac{b}{2} \sin \theta$$

$$\cos(\beta_0 d) = \cos(K_0 d) - \left(\frac{C_0 \cdot Z_0 \cdot C}{2d} \right) K_0 d \sin(K_0 d)$$

2^η βάθυς ανακούφισης

1^η βάθυς ανακούφισης

Επαναλαμβάνεται

↑ γιρίς
Διέλεγχος -
Αποκοσία

1^η βάθυς διέλεγχος

$$0 \leq K_0 d \leq 0.96$$

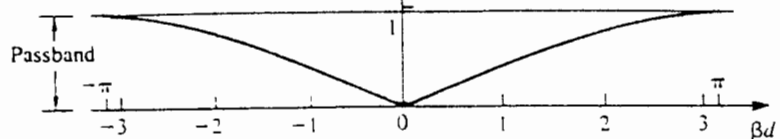


FIGURE 9.6 k - β diagram for Example 9.1.

$$\text{π.χ. } f = 3 \text{ GHz} \rightarrow K_0 d = 0.6283 \text{ rad} = 36^\circ \rightarrow \beta_0 d = 1.5 \rightarrow \beta_0 = 150 \text{ rad/m}$$

$$d = 1 \text{ cm} = 0.01 \text{ m} \quad V_p = C \frac{K_0}{\beta_0} = 0.42 \text{ G} < G \leftarrow \text{slow wave}$$

$$\frac{b}{2} = 1.256, \quad \Theta = K_0 d = 36^\circ, \quad A = \cos \theta - \frac{b}{2} \sin \theta = 0.0307, \quad B = j0.3419, \quad Z_B = 17.4 \Omega$$

Ένα μικροκυματικό φίλτρο είναι ένα δίθυρο κύκλωμα που χρησιμοποιείται για να ελέγχει την απόκριση συχνότητας σε ένα μικροκυματικό σύστημα.

Εφαρμογές: σε κάθε τύπο μικροκυματικής ζεύξης, στα συστήματα ραντάρ και σε διατάξεις μικροκυματικών μετρήσεων.

Στη μέθοδο των εικονικών παραμέτρων τα φίλτρα αποτελούνται από απλούστερα διαδοχικά συζευγμένα δίθυρα φίλτρα. Δεν μπορούν να βελτιστοποιηθούν.

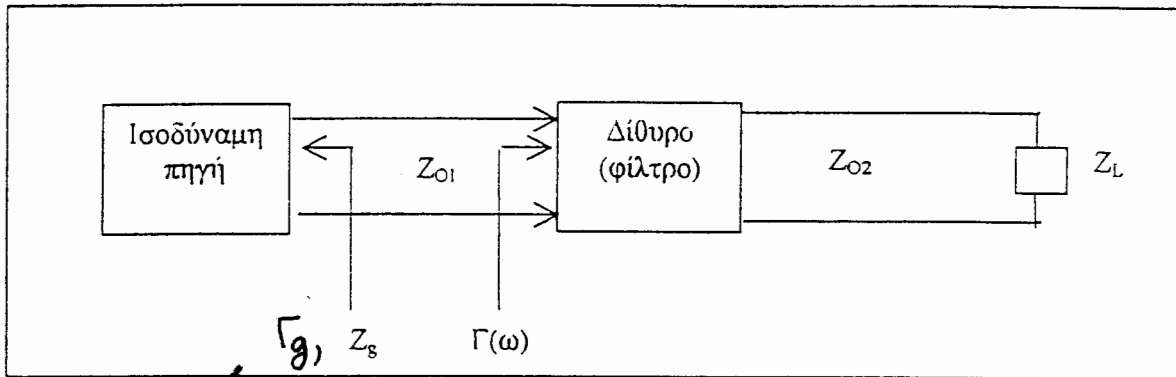
Η μέθοδος της απώλειας εισαγωγής χρησιμοποιεί τεχνικές σύνθεσης για τον σχεδιασμό φίλτρων καθορισμένης απόκρισης συχνότητας.

Σχεδιασμός Φίλτρων με την μέθοδο "Απώλεια Εισαγωγής"

Απώλεια εισαγωγής.

$$P_{LR} = \frac{\text{Ισχύς διαθέσιμη απότην πηγή}}{\text{Ισχύς αποδιδούμενη στοφορτίο}} = \frac{P_{inc}}{P_{load}} = \frac{1}{1 - \Gamma(\omega)\Gamma^*(\omega)} = \frac{1}{1 - |\Gamma(\omega)|^2}$$

- Αποδύκεται ότι $|\Gamma(\omega)|$ είναι άριτια γυμπών των ω
- $$|\Gamma(\omega)| = P(\omega^2) \Leftrightarrow |\Gamma(\omega)|^2 = \frac{M(\omega^2)}{M(\omega^2) + N(\omega^2)}$$



Μεταβιβήση διαδεικνύεται $\Leftrightarrow \Gamma_g = \Gamma(\omega)^*$

Σχήμα 2.1. Ορισμός απώλειας εισαγωγής.

$$IL(db) = 10 \log P_{LR}$$

Αποδεικνύετε ότι ένα φίλτρο για να είναι πρακτικά

υλοποιήσιμο.

$$P_{LR} = \frac{1}{1 - |\Gamma(\omega)|^2} = \frac{M(\omega^2) + N(\omega^2)}{(M(\omega^2) + N(\omega^2)) - M(\omega^2)}$$

$$P_{LR} = 1 + \frac{M(\omega^2)}{N(\omega^2)}$$

Όπου $N(\omega^2)$ και $M(\omega^2)$ να είναι άριτια συνάρτηση ω προς το ω .

Φίλτρα Μεγίστης Επιπεδώσεων - Διωνυμικά και Butterworth

Butterworth.

$$N(\omega^2) = 1 \text{ και } M(\omega^2) = k^2 (\omega/\omega_c)^{2N}$$

$$P_{LR} = 1 + k^2 \left(\frac{\omega}{\omega_c} \right)^{2N}$$

$$\left. \begin{array}{l} \omega = \omega_c \rightarrow P_{LR} = 1 + k^2 \\ \text{Εάν } P_{LR} = 2 \text{ για } \omega = \omega_c \\ \Delta \text{ημή σύγχρονο } - 3 \text{ dB} \\ \rightarrow k = 1 \end{array} \right\}$$

N είναι η τάξη του φίλτρου

ω_c η συχνότητα αποκοπής του, για $\omega = \omega_c$ $P_{LR} = 1 + k^2$. Για $\omega >> \omega_c$

> Πέριοχή αποκοπής

$$\omega >> \omega_c \rightarrow P_{LR} \approx k^2 \left(\frac{\omega}{\omega_c} \right)^{2N}$$

$$\left. \begin{array}{l} P_{LR} (\text{dB}) = 10 \log P_{LR} = \\ = 20N \cdot \log(k^2 \cdot \frac{\omega}{\omega_c}) \\ \text{Αυτό σημ. } (20N) \text{ dB / δεκάδα } \end{array} \right\}$$

Άρα η απώλεια εισαγωγής αυξάνει με ρυθμό $20N \text{ dB / δεκάδα}$. (n' $GN \text{ dB / OKG}$)

Φίλτρα Igns Kυψίτων (equal ripple) και Chebyshev

Chebyshev : Δινει το απόβολη χαρακτηριστική αποκοπής

$$P_{LR} = 1 + k^2 T_N^2 \left(\frac{\omega}{\omega_c} \right)$$

Όπου $T_N(\omega/\omega_c)$ είναι τα πολυώνυμα του Chebyshev βαθμού N.

$$T_N \left(\frac{\omega}{\omega_c} \right) = \cos \left(N \cos^{-1} \left(\frac{\omega}{\omega_c} \right) \right)$$

Το πολυώνυμο αυτό ταλαντώνει μεταξύ ± 1 στην ζώνη $|\omega/\omega_c| < 1$ ενώ αυξάνει μονότονα για $\omega/\omega_c > 1$

$$\left| \frac{\omega}{\omega_c} \right| < 1 \iff T_N \left(\frac{\omega}{\omega_c} \right) \text{ κυψίνεται μεταξύ } \pm 1$$

$$\begin{aligned} \text{Ζώνη διέλευσης} &\rightarrow \text{Κυψίτων} \leq 1 + k^2 \\ \text{Πάρτως Κυψίτων} &= 1 + k^2 \end{aligned}$$

$$> Ζωνη αποκοπής: \omega >> \omega_c \rightarrow T_N\left(\frac{\omega}{\omega_c}\right) \approx \frac{1}{2} \left(2 \frac{\omega}{\omega_c}\right)^N$$

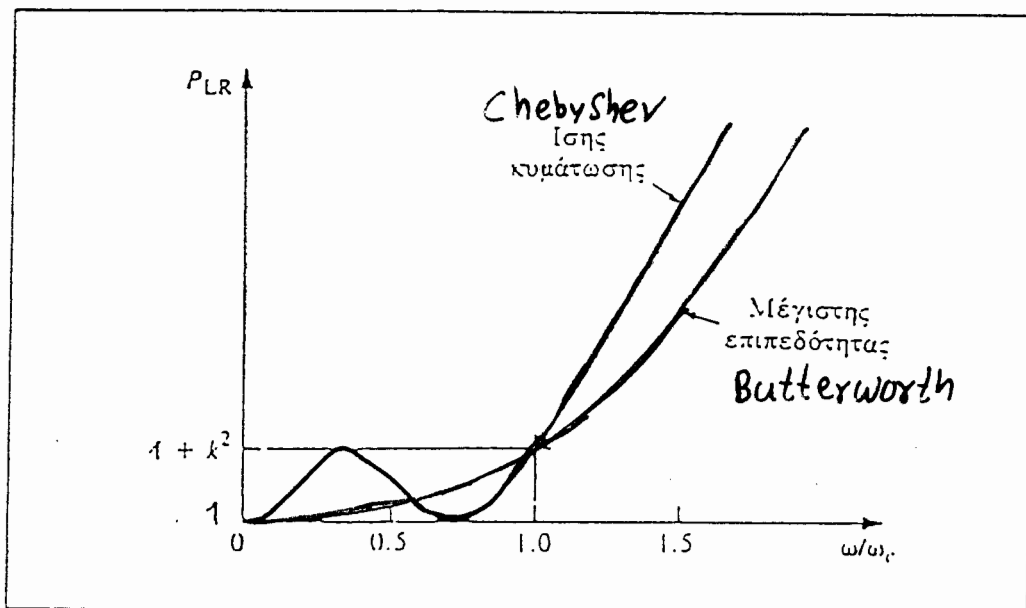
$$x = \frac{\omega}{\omega_c} \stackrel{n}{>>} 1$$

Για μεγάλα $x = \omega/\omega_c$ προκύπτει ότι $T_N(x) \approx \frac{1}{2}(2x)^{2N}$, έτσι για $\omega >> \omega_c$ η απώλεια εισαγωγής γίνεται:

$$P_{LR} \approx \frac{k^2}{4} \left(\frac{2\omega}{\omega_c}\right)^{2N}$$

Δηλαδή, η απώλεια εισαγωγής αυξάνει περίπου με ρυθμό ίσο με ου αυξάνει $20N$ σε dB/ δεκάδα.

↙ Για $\omega \sim \omega_c$ το chebyshev παρουσιάζει μεγαλύτερη κλίση.
Πυρήνας αποκοπής Chebyshev $> \left(\frac{2}{4}\right)^{2N}$. Πυρήνας αποκοπής Butterworth.



Σχήμα 2.2 Μέγιστης επιπεδότητας φίλτρο και ίσης κυμάτωσης φίλτρο για ένα χαμηλοπερατό φίλτρο με $n=3$ (P_{LR} σε απόλυτες τιμές).

Χαρακτηριστική Χαλυζοεργασίας Φίλτρων Chebyshev και Butterworth 3^{ου} τείχους ($N=3$).

→ Εχουν μονότονα αντανάκληση
επανέλεγμα, με ρυθμό
20N dB/δεκαδά στην
τελευταία απόκτηση.

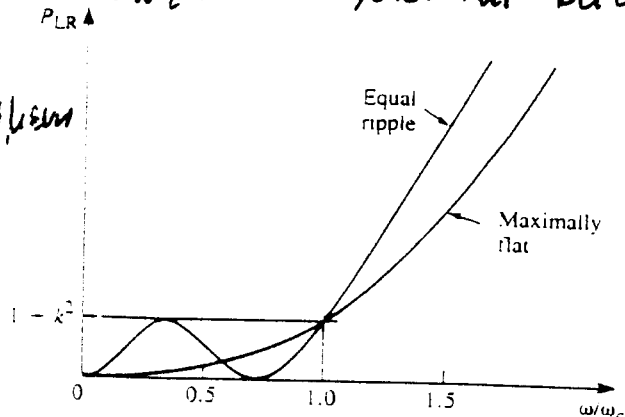


FIGURE 9.21 Maximally flat and equal-ripple low-pass filter responses ($N = 3$).

> Φίλτρο Ελλειπτικής Συνάρτωσης.

→ Σε λεπτές εφαρμογές ή επανέλεγμα στην τελευταία απόκτηση, αρκεί να είναι μεταβλητή από την αριθμό τιμών, αντί να αντικατασταθεί με την παραπάνω.



Επιτυγχάνεται το τελευταίο πολύς απόκτησης

? (Η γύνδηλη της είναι στα
σύγκριμα).

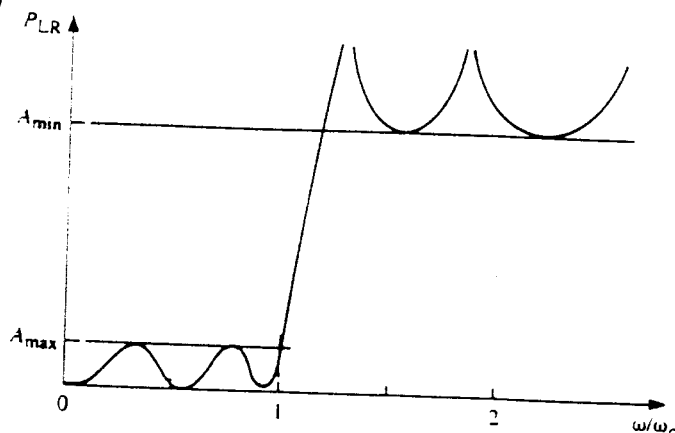


FIGURE 9.22 Elliptic function low-pass filter response.

→ Εχουν απόκτησην λεπτών κυμάτων και στη συνέχεια απόκτηση και διελεύση.

Ζωνη διελεύσης: Ορίζεται σε λεπτή επιτοποίηση αριθμητικής ημέρας.
Ζωνη απόκτησης: Ορίζεται σε λεπτή απαντήση εφαρμογής: A_{\min} .

> Διαδικασία Σχεδιασμού Φίλτρων.

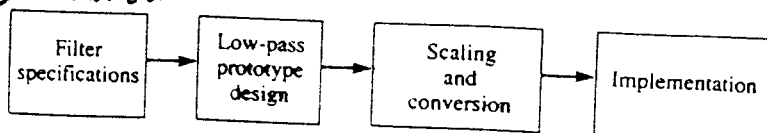


FIGURE 9.23 The process of filter design by the insertion loss method.

Φίλτρα Γραμμικής Φάσης.

- > Σε πολλές εφαρμογές και ιδραιτέρα στα φίλτρα πολυπλεύτες των Τηλεπικονυμικών Συστημάτων Είναι πολύ δημοφιλής η επίσευτη απόκριση Γραμμικής Φάσης (π.χ. Διακορύφωσης QAM).
- > Η επίσευτη απόκριση χαρακτηριστικής απόκρου - απότομη δεν είναι συνθήσιμη με την απόκριση Γραμμικής Φάσης
- ↳ Προτιμότερη GE μερικές αεριπλάνες να θυμίζουν απόκριση παρατάξης (μικρότερην κλίση) για την επίσευτη Γραμμική Φάση.

⇒ Χαρακτηριστική παράδειγμα απόκριση Γραμμικής Φάσης:

$$\Phi(\omega) = A\omega \cdot \left[1 + p \left(\frac{\omega}{\omega_c} \right)^{2N} \right]$$

↖ Συναρπάτηση μετατόπισης της φάσης (της φάσης) των φίλτρων.

• Κανονισμένη Ομοός T_d

$$\begin{cases} \text{Μήκος διαδόσης } l = V_g \cdot T_d \rightarrow T_d = \frac{l}{V_g} & \xrightarrow{l=\text{κανονιδιαίο}} \\ \cdot V_g = \frac{d\omega}{d\beta}, \quad \Phi = \beta \cdot l \rightarrow T_d = \frac{d\Phi}{d\omega} & T_d = \frac{1}{V_g} \end{cases}$$

$$T_d = \frac{d\Phi}{d\omega} = A \cdot \left\{ 1 + p \cdot (2N+1) \left(\frac{\omega}{\omega_c} \right)^{2N} \right\}$$

• Ουδείς φίλτρος είναι μια χαρακτηριστική μεγάλης επιτελείας (comps to Butterworth).

Χαρακτηριστικός Φίλτρου Butterworth και ChebyShev

→ Butterworth:

Η χαρακτηριστική του φίλτρου Butterworth ορίζεται μαθηματικά από την σχέση (2.5) η οποία για $\epsilon = \kappa^2$ μπορεί να γραφτεί ως:

Ποχαριδική
Απόδοση (dB): $L_A(\omega) = \text{Log}_{10} \left[1 + \epsilon \left(\frac{\omega'}{\omega_1} \right)^2 \right]^{2n}$

$$\text{Όπου: } \epsilon = \left[\text{antiLog}_{10} \frac{L_{Ar}}{10} \right] - 1$$

Όπου n η τάξη του φίλτρου.

→ ChebyShev:

Η χαρακτηριστική του ChebyShev περιγράφεται μαθηματικά από τις εξής σχέσεις, που για $\epsilon = \kappa^2$ γράφονται:

Ζώνη διέλευσης:

Ποχαριδική
Απόδοση (dB)
 $L_A(\omega') = 10 \text{Log}_{10} \left[1 + \epsilon \cos^2 \left[n \cos^{-1} \left(\frac{\omega'}{\omega_1} \right) \right] \right] \quad \text{για } \omega' > \omega_1'$

Ζώνη αποκοπής:

$$L_A(\omega') = 10 \text{Log}_{10} \left[1 + \epsilon \cosh^2 \left[n \cosh^{-1} \left(\frac{\omega'}{\omega_1} \right) \right] \right] \quad \text{για } \omega' < \omega_1'$$

$$\text{Όπου: } \epsilon = \left[\text{antiLog}_{10} \frac{L_{Ar}}{10} \right] - 1$$

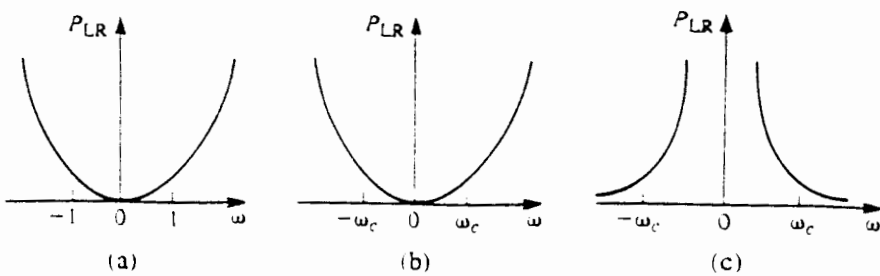


FIGURE 9.28 Frequency scaling for low-pass filters and transformation to a high-pass response.
 (a) Low pass filter prototype response for $\omega_c = 1$. (b) Frequency scaling for low-pass response. (c) Transformation to high-pass response.

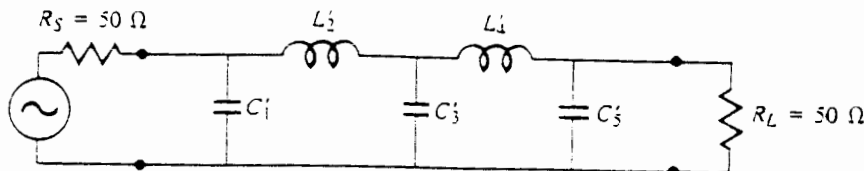
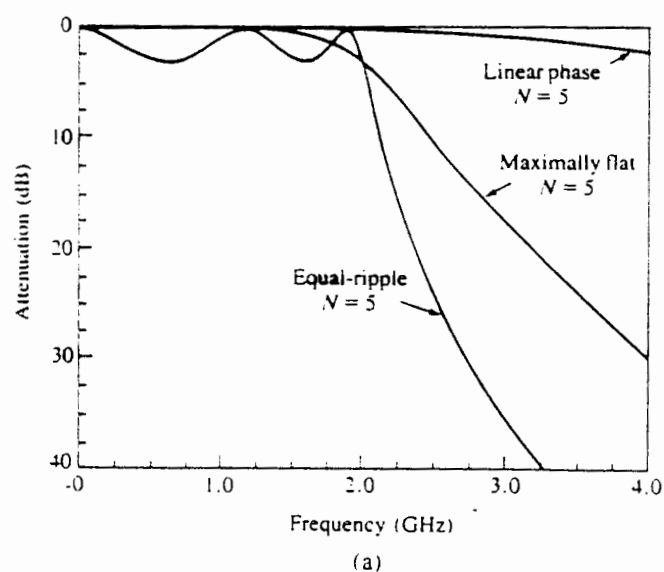
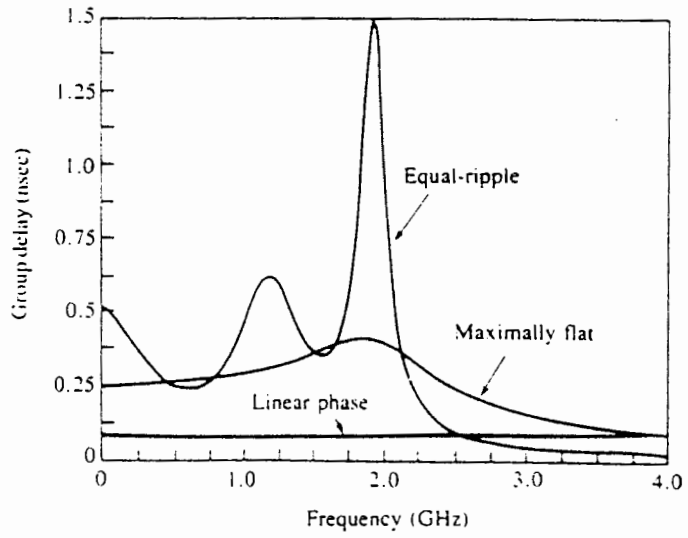


FIGURE 9.29 Low-pass maximally flat filter circuit for Example 9.4.



(a)



(b)

FIGURE 9.30 Frequency response of the filter design of Example 9.4. (a) Amplitude response.
 (b) Group delay response.

Πρωτότυπα κυκλώματα Χαμηλοπερατών Φίλτρων.

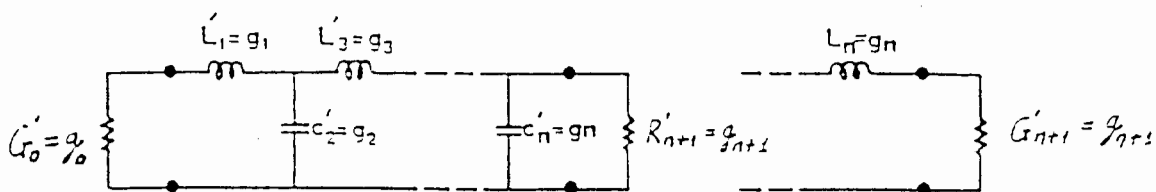
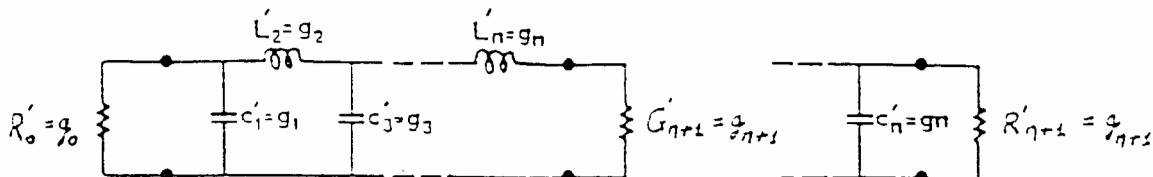
(G.L. Matthaei, L. Young and E.M.T. Jones)

↪ Κανονικοποίηση ως τύπος της Z_0 . Ηλ. την w_c

- Μοναδιαία αντίσταση πλήγης $\rho_0 = g_0 = 1$

$$\text{Κα. Φόρτος} \quad g_{N+1} = R_L / R_0$$

- Μοναδιαία Γυχνήλη απόκρεις $w_c = 1$



Σχήμα. Πρωτότυπα κυκλώματα χαμηλοπερατών φίλτρων.

> Κάθικα Σύνδεσης Αντίστασης

- Για τον υποδοχήσιο λευκό στοιχείο των εισηρωτών είναι ένα-μοντι ομόσταση $Z_0 = R_0$ (α. $Z_0 = R_0 = 50\Omega$)
- Στοιχεία γειράς : $L_i = R_0 \cdot L'_i$
- Παραγόντα στοιχεία : $C_i = C'_i / R_0$
- Αντίσταση πλήγης : $R_s = R_0$
- Αντίσταση Φόρτου : $R_L = R'_L \cdot R_0$

L'_i, C'_i, R'_L
Ta Kanonikoπoηseis
στοιχεία των πρωτότυπων

> Κάθικα συγχύσεις : Αλλαγή από μοναδιαία γυχνήλη απόκρεις GE w_c : $w \leftarrow \frac{w}{w_c} \longleftrightarrow P_{LR}\left(\frac{w}{w_c}\right) = P'_{LR}(w)$
Ζωτικότητα. \in Kanoniko.

> Χαμηλοτερούσιος Φίλτρος 2nd Τάξης

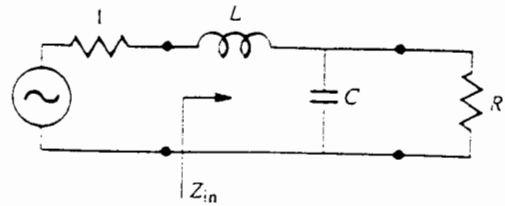


FIGURE 9.24 Low-pass filter prototype, $N = 2$.

> Πρώτων Χαμηλοπεράτω Φίλτρων.

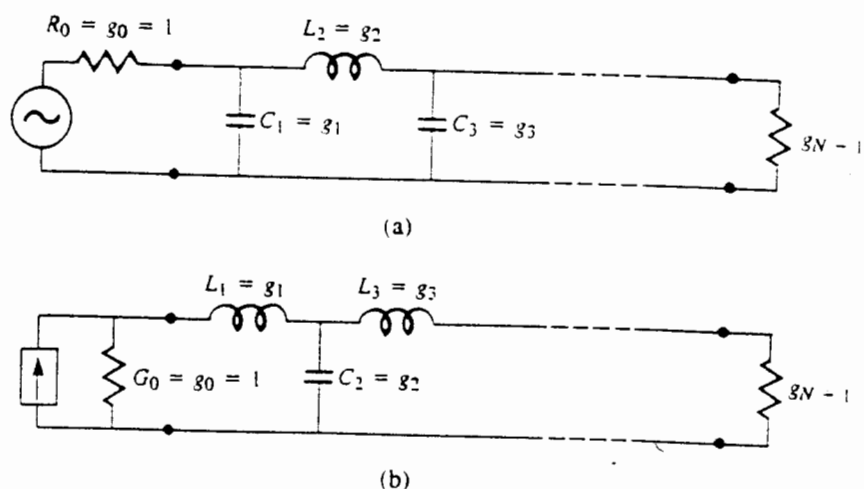


FIGURE 9.25 Ladder circuits for low-pass filter prototypes and their element definitions. (a) Prototype beginning with a shunt element. (b) Prototype beginning with a series element.

Προβολή των για κατανομέτρια φίλτρων Butterworth.

TABLE 9.3 Element Values for Maximally Flat Low-Pass Filter Prototypes ($g_0 = 1$, $\omega_c = 1$, $N = 1$ to 10)

N	g_1	g_2	g_3	g_4	g_5	g_6	g_7	g_8	g_9	g_{10}	g_{11}
1	2.0000	1.0000									
2	1.4142	1.4142	1.0000								
3	1.0000	2.0000	1.0000	1.0000							
4	0.7654	1.8478	1.8478	0.7654	1.0000						
5	0.6180	1.6180	2.0000	1.6180	0.6180	1.0000					
6	0.5176	1.4142	1.9318	1.9318	1.4142	0.5176	1.0000				
7	0.4450	1.2470	1.8019	2.0000	1.8019	1.2470	0.4450	1.0000			
8	0.3902	1.1111	1.6629	1.9615	1.9615	1.6629	1.1111	0.3902	1.0000		
9	0.3473	1.0000	1.5321	1.8794	2.0000	1.8794	1.5321	1.0000	0.3473	1.0000	
10	0.3129	0.9080	1.4142	1.7820	1.9754	1.9754	1.7820	1.4142	0.9080	0.3129	1.0000

Source: Reprinted from G. L. Matthaei, L. Young, and E. M. T. Jones, *Microwave Filters, Impedance-Matching Networks, and Coupling Structures* (Dedham, Mass.: Artech House, 1980) with permission.

> Προβολή των για κατανομέτρια φίλτρων Butterworth.

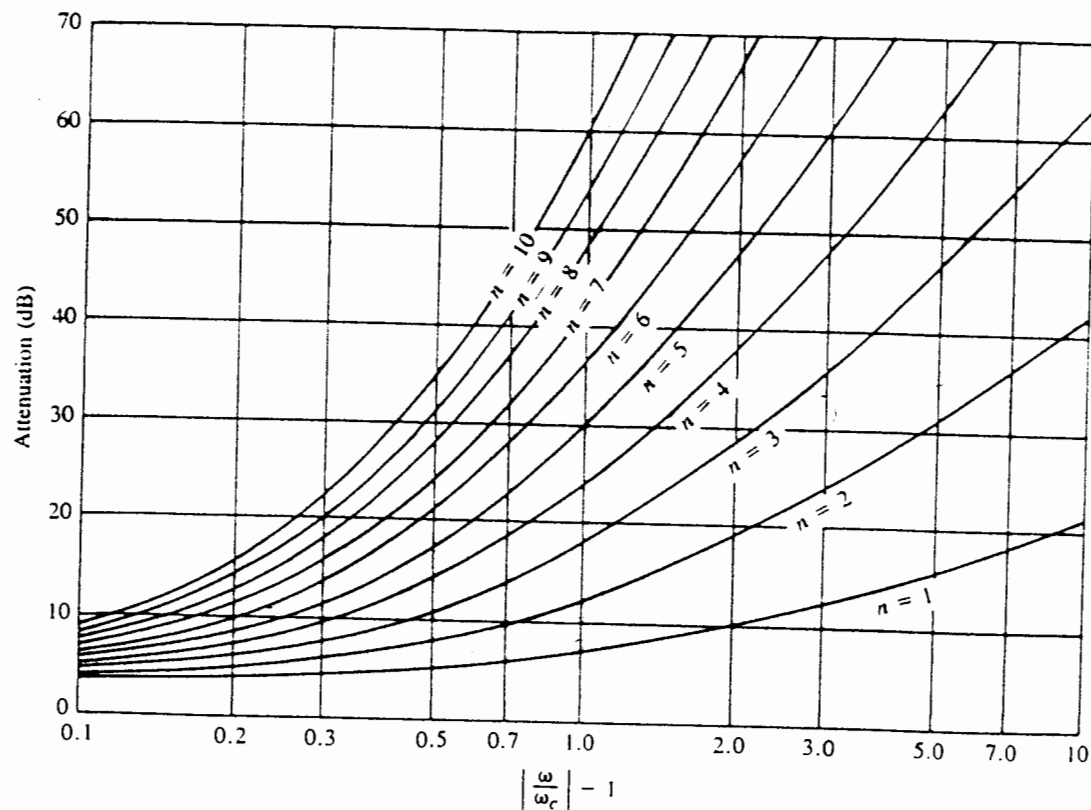


FIGURE 9.26

Attenuation versus normalized frequency for maximally flat filter prototypes. Adapted from G. L. Matthaei, L. Young, and E. M. T. Jones, *Microwave Filters, Impedance-Matching Networks, and Coupling Structures* (Dedham, Mass.: Artech House, 1980) with permission.

Написано Xaknosepati Dibea Chebyshov

TABLE 9.4 Element Values for Equal-Ripple Low-Pass Filter Prototypes ($g_0 = 1$, $\omega_c = 1$, $N = 1$ to 10, 0.5 dB and 3.0 dB ripple)

N	0.5 dB Ripple										
	g_1	g_2	g_3	g_4	g_5	g_6	g_7	g_8	g_9	g_{10}	g_{11}
1	0.6986	1.0000									
2	1.4029	0.7071	1.9841								
3	1.5963	1.0967	1.5963	1.0000							
4	1.6703	1.1926	2.3661	0.8419	1.9841						
5	1.7058	1.2296	2.5408	1.2296	1.7058	1.0000					
6	1.7254	1.2479	2.6064	1.3137	2.4758	0.8696	1.9841				
7	1.7372	1.2583	2.6381	1.3444	2.6381	1.2583	1.7372	1.0000			
8	1.7451	1.2647	2.6564	1.3590	2.6964	1.3389	2.5093	0.8796	1.9841		
9	1.7504	1.2690	2.6678	1.3673	2.7239	1.3673	2.6678	1.2690	1.7504	1.0000	
10	1.7543	1.2721	2.6754	1.3725	2.7392	1.3806	2.7231	1.3485	2.5239	0.8842	1.9841

N	3.0 dB Ripple										
	g_1	g_2	g_3	g_4	g_5	g_6	g_7	g_8	g_9	g_{10}	g_{11}
1	1.9953	1.0000									
2	3.1013	0.5339	5.8095								
3	3.3487	0.7117	3.3487	1.0000							
4	3.4389	0.7483	4.3471	0.5920	5.8095						
5	3.4817	0.7618	4.5381	0.7618	3.4817	1.0000					
6	3.5045	0.7685	4.6061	0.7929	4.4641	0.6033	5.8095				
7	3.5182	0.7723	4.6386	0.8039	4.6386	0.7723	3.5182	1.0000			
8	3.5277	0.7745	4.6575	0.8089	4.6990	0.8018	4.4990	0.6073	5.8095		
9	3.5340	0.7760	4.6692	0.8118	4.7272	0.8118	4.6692	0.7760	3.5340	1.0000	
10	3.5384	0.7771	4.6768	0.8136	4.7425	0.8164	4.7260	0.8051	4.5142	0.6091	5.8095

Source: Reprinted from G. L. Matthaei, L. Young, and E. M. T. Jones, *Microwave Filters, Impedance-Matching Networks, and Coupling Structures* (Dedham, Mass.: Artech House, 1980) with permission.

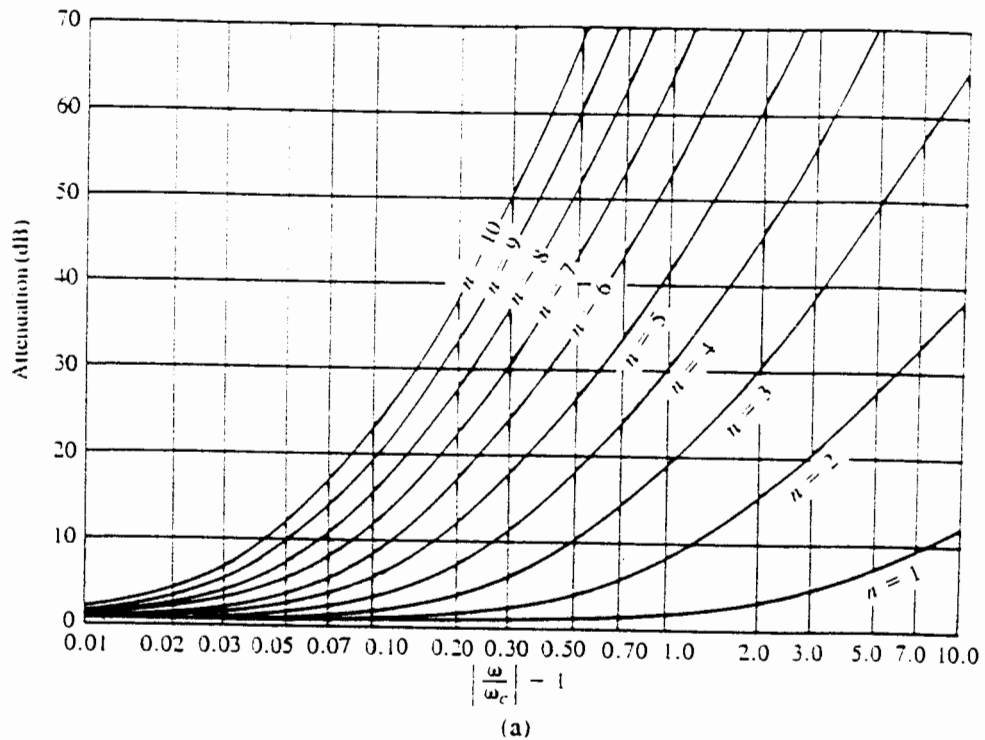
TABLE 9.5 Element Values for Maximally Flat Time Delay Low-Pass Filter Prototypes ($g_0 = 1$, $\omega_c = 1$, $N = 1$ to 10)

N	g_1	g_2	g_3	g_4	g_5	g_6	g_7	g_8	g_9	g_{10}	g_{11}
	1	2.0000	1.0000								
2	1.5774	0.4226	1.0000								
3	1.2550	0.5528	0.1922	1.0000							
4	1.0598	0.5116	0.3181	0.1104	1.0000						
5	0.9303	0.4577	0.3312	0.2090	0.0718	1.0000					
6	0.8377	0.4116	0.3158	0.2364	0.1480	0.0505	1.0000				
7	0.7677	0.3744	0.2944	0.2378	0.1778	0.1104	0.0375	1.0000			
8	0.7125	0.3446	0.2735	0.2297	0.1867	0.1387	0.0855	0.0289	1.0000		
9	0.6678	0.3203	0.2547	0.2184	0.1859	0.1506	0.1111	0.0682	0.0230	1.0000	
10	0.6305	0.3002	0.2384	0.2066	0.1808	0.1539	0.1240	0.0911	0.0557	0.0187	1.0000

Source: Reprinted from G. L. Matthaei, L. Young, and E. M. T. Jones, *Microwave Filters, Impedance-Matching Networks, and Coupling Structures* (Dedham, Mass.: Artech House, 1980) with permission.

Προσδιορίσκος των Taube Xanthopoulos Φίλων Chebyshev

Kräftig zufrieden
0.5 dB



Kräftig zufrieden
3.0 dB

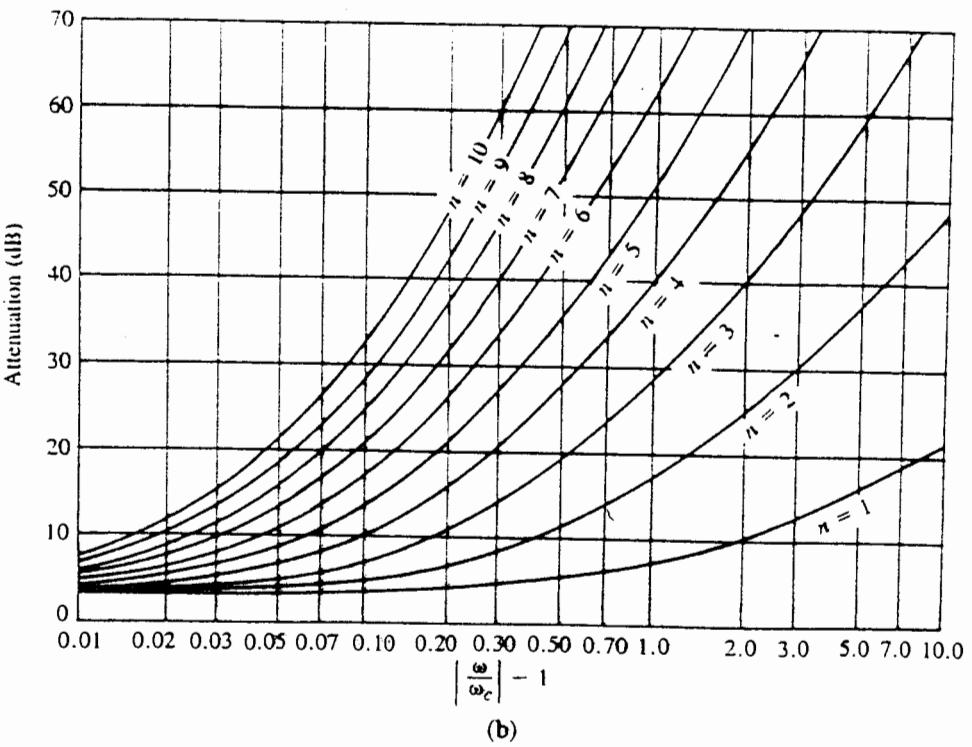
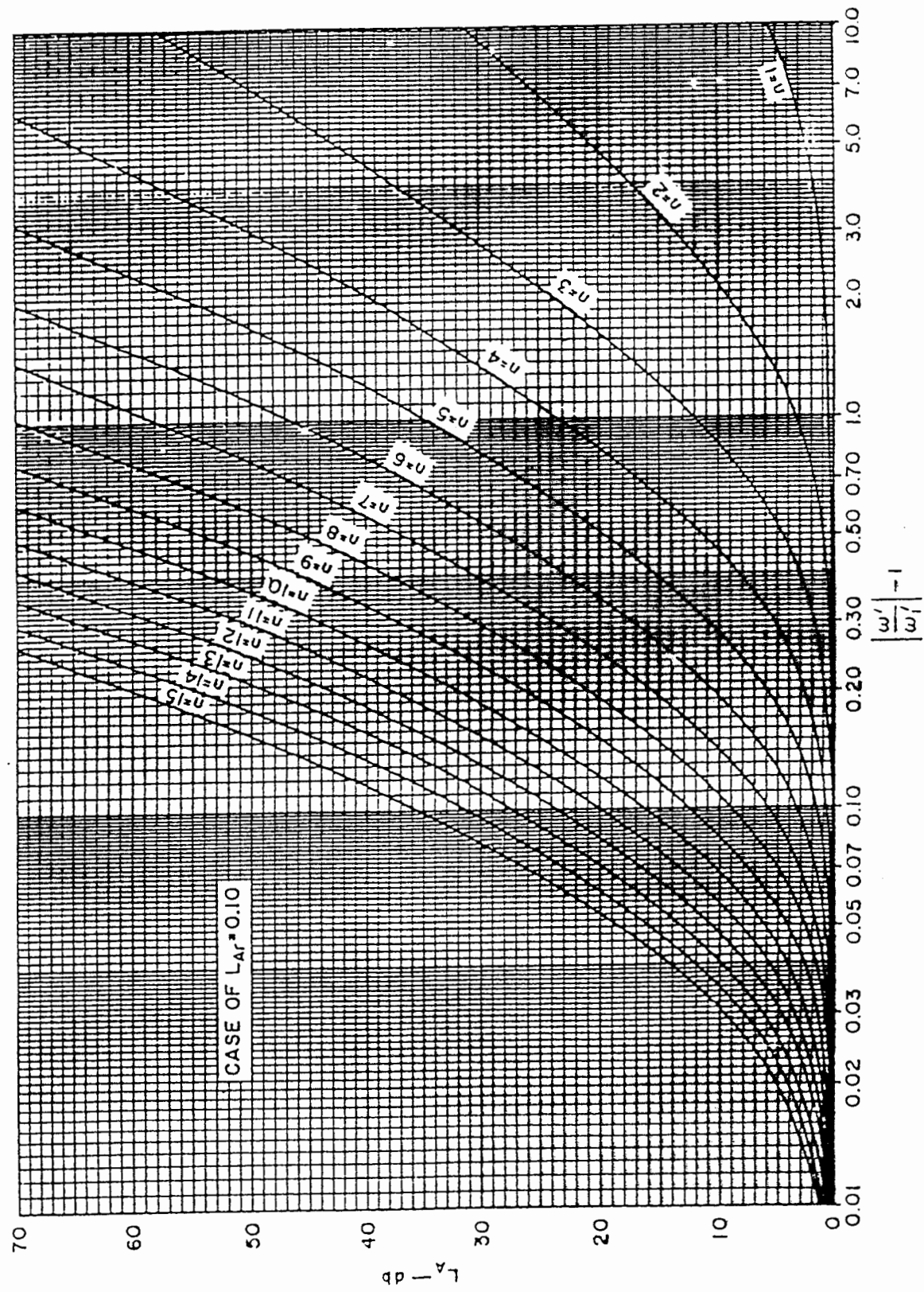


FIGURE 9.27 Attenuation versus normalized frequency for equal-ripple filter prototypes. (a) 0.5 dB ripple level. (b) 3.0 dB ripple level.

Adapted from G. L. Matthaei, L. Young, and E. M. T. Jones, *Microwave Filters, Impedance-Matching Networks, and Coupling Structures* (Dedham, Mass.: Artech House, 1980) with permission.

CHEBYSHEV

- Kardiotis O.I.B



Σχήμα 2.9 Καρπίδες εξασθένησης των φύλων Chebyshev για διαφορετικές τιμές του n (τάξη των φύλων) με μέγιστη εξασθένηση στη ζώνη διέλευσης λογ $\mu_{Lar} = 0.1$, [3,σελ.89].

Πίνακας 2.3 Στοιχεία των παραμέτρων φίλτρα τύπου Chebyshev για $n=1-10$, [3,σελ.100]

VALUE OF n	ϵ_1	ϵ_2	ϵ_3	ϵ_4	ϵ_5	ϵ_6	ϵ_7	ϵ_8	ϵ_9	ϵ_{10}	ϵ_{11}
0.01 db ripple											
1	0.0960	1.0000									
2	0.4488	0.4077	1.1007								
3	0.6291	0.9702	0.6291	1.0000							
4	0.7128	1.2003	1.3212	0.6476	1.1007						
5	0.7563	1.3049	1.5773	1.3049	0.7563	1.0000					
6	0.7813	1.3600	1.6896	1.5350	1.4970	0.7098	1.1007				
7	0.7969	1.3924	1.7481	1.6331	1.7481	1.3924	0.7969	1.0000			
8	0.8072	1.4130	1.7824	1.6833	1.8529	1.6193	1.5554	0.7333	1.1007		
9	0.8144	1.4270	1.8043	1.7125	1.9057	1.7125	1.8043	1.4270	0.8144	1.0000	
10	0.8196	1.4369	1.8192	1.7311	1.9362	1.7590	1.9055	1.6527	1.5817	0.7446	1.1007
0.1 db ripple											
1	0.3052	1.0000	1.3554								
2	0.8430	0.6220	1.0315	1.1474	1.0315	1.0000					
3	1.0315	1.1474	1.1088	1.3061	1.7703	0.8180	1.3554				
4	1.1468	1.3712	1.1468	1.3712	1.9750	1.3712	1.1468	1.0000			
5	1.1681	1.4039	1.1681	1.4228	2.0562	1.5170	1.9029	0.8618	1.3554		
6	1.1811	1.4228	1.1897	1.4346	2.0966	1.5733	2.0966	1.4228	1.1811	1.0000	
7	1.1956	1.4425	1.1956	1.4481	2.1199	1.6010	2.1699	1.5640	1.9444	0.8778	1.3554
8	1.1999	1.4481	2.1199	2.1444	2.1625	2.1345	2.2053	1.6167	2.1345	1.4425	1.1956
9										1.0000	0.8853
10											1.3554
0.2 db ripple											
1	0.4342	1.0000	0.6745	1.5386	1.2275	1.525	1.0000				
2	1.0378	1.2275	1.3028	1.2844	1.9761	0.8468	1.5386	1.0000			
3	1.2275	1.525	1.3394	1.3370	2.1660	1.3370	1.3394	1.0000			
4			1.3394	1.3632	2.2394	1.4555	2.0974	0.8838	1.5386		
5				1.3632	1.5001	2.2756	1.3781	1.3791	1.3722	1.0000	
6					2.2756	1.3781	1.3791	1.3722	1.0000		
7						1.3781	1.3791	1.3722	1.0000		

Μεγαλύκατιθροί Φίλμων

$$\left. \begin{array}{l} \text{Πρώτων χαρημάτων} \\ \text{Αυτίστατη σταθμός } R_S = 1 \\ \text{Συχνότητα αποκατίσιας } w_c = 1 \end{array} \right\} \Rightarrow \left\{ \begin{array}{l} \text{Χαρημάτων φίλμων} \\ \text{Αυτίστατη σταθμός } R_S = R_0 \\ \text{Συχνότητα αποκατίσιας } w_c \end{array} \right.$$

Kaiplakes autistisitas

$$\begin{aligned} \text{Σταθμίσια } G_{SPD} &= 1' & \rightarrow & L = R_0 L' \\ \text{Παραδίνησια } C' & & \rightarrow & C = C' / R_0 \\ \text{Αυτίστατη σταθμός } R_S' &= 1' & \rightarrow & R_S = R_0 \\ \text{Αυτίστατη φόρμα } R_L' & & \rightarrow & R_L = R_0 \cdot R_L \end{aligned}$$

Καιplakes	Συχνότητας
$\frac{\omega}{w_c}$	$\rightarrow \omega$
$P_{LR}' \left(\frac{\omega}{w_c} \right)$	$\rightarrow P_{LR}(\omega)$
L'_K	$\rightarrow L_K = L'_K / w_c$
C'_K	$\rightarrow C_K = C'_K / w_c$

Kaiplakes Autisitas σταθμή και συχνότητας: \Leftarrow τελεί

$$\begin{aligned} \text{Σταθμίσια } G_{SPD} &= L'_K & \rightarrow & L_K = \frac{R_0 L'_K}{w_c} \\ \text{Παραδίνησια } C'_K & & \rightarrow & C_K = \frac{C'_K}{R_0 w_c} \end{aligned}$$

Μεγαλύκατιθρός πρώτων χαρημάτων \rightarrow γνηπέρτωτο

$$\text{Απειρούς } \omega \leftarrow -\frac{w_c}{\omega} \quad \left\{ \begin{array}{l} \omega = 0 \rightarrow \omega = \pm \vartheta \\ \omega = \pm \vartheta \rightarrow \omega = 0 \end{array} \right.$$

$$\begin{aligned} \text{Πύρινα, } G_{SPD} &\rightarrow \text{Πυκνωτές σε } G_{SPD} \\ L'_K &\rightarrow C_K = \frac{1}{R_0 w_c \cdot L'_K} \\ \text{Παραδίνησια } C'_K &\rightarrow \text{Παραδίνησια πύρινα.} \\ &\rightarrow L_K = \frac{R_0}{w_c \cdot C'_K} \end{aligned}$$

Μεταγνητισμός πρωτικών χαρακτηρατών → Συντοπάτο

Η Ε: λογική σημείωσης

$$\omega \leftarrow \frac{\omega_0}{\omega_2 - \omega_1} \left(\frac{\omega}{\omega_0} - \frac{\omega_0}{\omega} \right) = \frac{1}{\Delta} \left(\frac{\omega}{\omega_0} - \frac{\omega_0}{\omega} \right)$$

$$\text{Διπλωτή: } \Delta = \frac{\omega_2 - \omega_1}{\omega_0} = \text{ποσοτικός είρησης}$$

- Η κεντρική συχνότητα ω_0 αποτελεί την αρχή της ανδρονίκης λειτουργίας ή την μέση συχνότητα της γενικής προσεγγίσεως μέσως δύο αριθμητικών ω_1 & ω_2 . Οπότε $\omega_0 = \sqrt{\omega_1 \cdot \omega_2}$, αντί την αριθμητική $\omega_0 = \frac{\omega_1 + \omega_2}{2}$

$$\Rightarrow \omega = \omega_0 \quad \text{αποτελείται από } \frac{1}{\Delta} \left(\frac{\omega}{\omega_0} - \frac{\omega_0}{\omega} \right) = 0$$

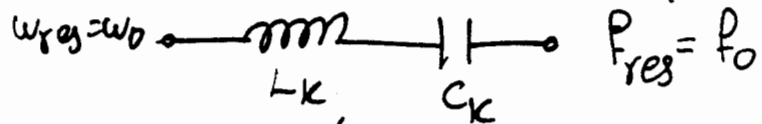
$$\omega = \omega_1 \quad \xrightarrow{\text{Κατ } \omega_0 = \sqrt{\omega_1 \cdot \omega_2}} \frac{1}{\Delta} \left(\frac{\omega_1}{\omega_0} - \frac{\omega_0}{\omega_1} \right) = -1$$

$$\omega = \omega_2 \quad \xrightarrow{\text{Κατ } \omega_0 = \sqrt{\omega_1 \cdot \omega_2}} \frac{1}{\Delta} \left(\frac{\omega_2}{\omega_0} - \frac{\omega_0}{\omega_2} \right) = +1$$

Πυρίο Γειπάς



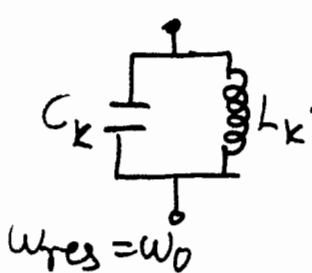
→ Συντοπικό LC Γειπάς



$$L_K = \frac{k'_K}{\Delta \cdot \omega_0}, \quad C_K = \frac{\Delta}{\omega_0 \cdot L_K}$$

Παραγόντας πυκνωτής → Παραγόντα συντοπικό LC

$$\frac{1}{J} C'_K$$



$$\omega_{res} = \omega_0$$

$$L_K = \frac{\Delta}{\omega_0 C'_K}$$

$$C_K = \frac{C'_K}{\Delta \cdot \omega_0}$$

→ Τα δύο συντοπικά κυκλωτήρες δανείζουν την κεντρική συχνότητα ω_0 . $\omega_{res} = \sqrt{\frac{1}{L_K C'_K}} = \omega_0$

→ Προσδιορίσθετος της ταίριας από την απώτερη ειδανότητα A

$$\omega = \frac{1}{\Delta} \left(\frac{\omega}{\omega_0} - \frac{\omega_0}{\omega} \right) \quad \left. \begin{array}{l} \uparrow \\ \downarrow \end{array} \right|_{\omega_0=1} \quad \text{Κατ } \left(\frac{\omega}{\omega_0} \right) - 1 \quad \left. \begin{array}{l} \leftarrow \\ \rightarrow \end{array} \right|_{\omega_0=1} \quad \text{A διαπέπλετη}$$

Μεταβιβαστικός Πρωτότυπος Χαμηλού Εφαρμογής → Ζευγαρισμένος

$$\text{Απεικόνιση} \quad \omega \leftarrow \Delta \cdot \left(\frac{\omega}{\omega_0} - \frac{\omega_0}{\omega} \right)^{-1}$$

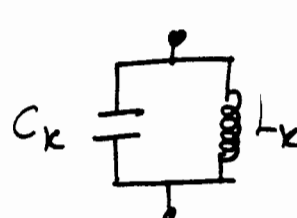
Συχνάσματα

$$\text{Αντιστοίχους από τον μύθο}\quad \Delta = \frac{\omega_2 - \omega_1}{\omega_0}$$

Χαμηλού Εφαρμογής → Ζευγαρισμένος

Πινακίδα Γεράσιας → Παραγγίγητη Συντονισμένο LC

$$\xrightarrow{\text{---}} L'_K$$



$$L_K = \frac{\Delta \cdot L'_K}{\omega_0}$$

$$C_K = \frac{1}{\omega_0 \cdot \Delta \cdot L'_K}$$

$$\omega_{res} = 1 / \sqrt{L_K \cdot C_K} = \omega_0$$

Παραγγίγητης Πινακίδας → Συντονισμένο Κάτικτηρα LC Γεράσιας

$$\xrightarrow{\text{---}} C'_K$$

$$\xrightarrow{\text{---}} L_K \quad C_K$$

$$L_K = \frac{1}{\omega_0 \Delta \cdot C'_K}, \quad C_K = \frac{\Delta \cdot C'_K}{\omega_0}$$

$$\omega_{res} = 1 / \sqrt{L_K \cdot C_K} = \omega_0$$

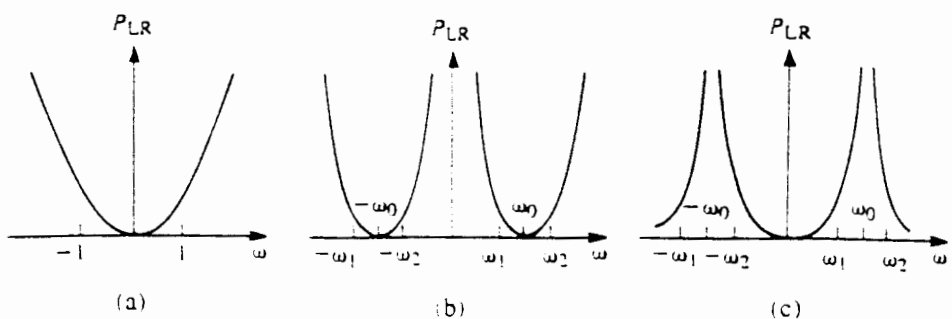


FIGURE 9.31 Bandpass and bandstop frequency transformations. (a) Low-pass filter prototype response for $\omega_0 = 1$. (b) Transformation to bandpass response. (c) Transformation to bandstop response.

TABLE 9.6 Summary of Prototype Filter Transformations

Low-pass	High-pass	Bandpass	Bandstop

$\Delta = \frac{\omega_2 - \omega_1}{\omega_1}$

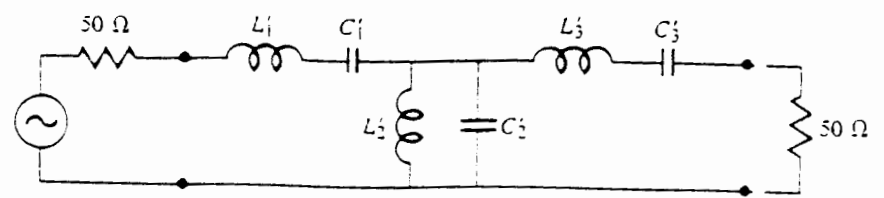


FIGURE 9.32 Bandpass filter circuit for Example 9.5.

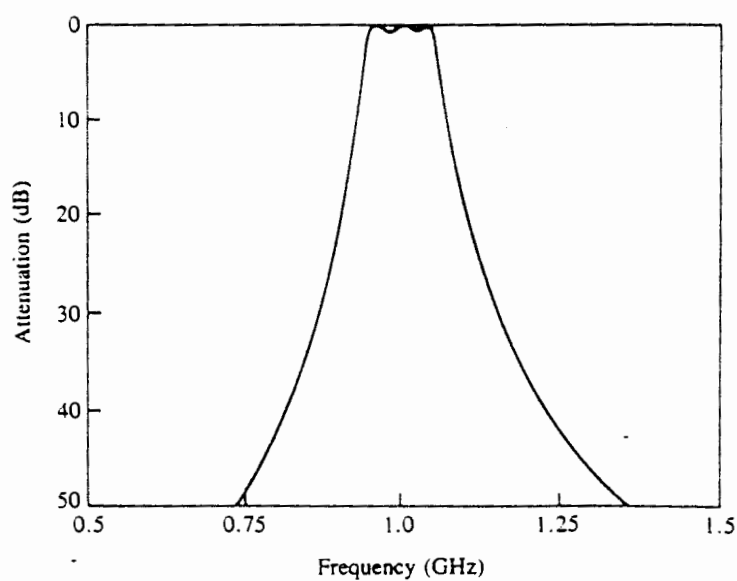


FIGURE 9.33 Amplitude response for the bandpass filter of Example 9.5.